

愛媛大学工学部 正員 中村孝年
大阪大学工学部 正員 横木 亨

1. まえがき： 従来、円柱の波の進行方向に作用する波力の研究は、経験式であるMorison波力式を仮定して、式中に含まれる抗力係数 C_D 、慣性係数 C_M の実態の実験的な把握ということを中心にして展開されてきた。しかし、これら C_D 、 C_M の値は研究者により異なった値が報告されており、不確定な値のまま現在に到っているのかその現状である。そして、これら係数の不確定性の理由の一つとしては、Morison波力式の妥当性を含めて、波力の発生における後流渦を含めた流況特性の影響というものが明らかにされていないことがあげられる。

本研究では、波動場に類似した流体場として振動流を対象に円柱背後に形成される後流渦を含めた円柱周囲の流況を数値シミュレーションする。この場合、後流渦としては円柱背後の左右で対称に発生する対称渦を現段階では想定し、離散的な複数渦系モデルにより近似した。そして、この流況特性を用いて作用流体力の算定を行ない、作用流体力と流況特性との直接的な結びつけにより流体力の物理的了解釈を与えるとするものである。

2. 複数渦系モデルによる流況の再現について：複数個の渦を有する振動流中に半径 a の円柱が置かれた場合の各渦系の運動学的な方程式は、円柱背後の左右で対称な対称渦を想定すると、(1)、(2)式のように導ける。

$$\frac{dr_n}{dt} = U \cos \theta_n \left[-\frac{a^2}{r_n^2} + \frac{1}{2\pi r_n} \sum_{k=1}^N \Gamma_k r_k \sin(\epsilon_n - \theta_k) / A_{nk}(-) - \sum_{k=1}^N \Gamma_k r_k \sin(\theta_n + \epsilon_k) / A_{nk}(+) - \sum_{k=1}^N \Gamma_k a^2 r_k \{ \sin(\theta_n - \epsilon_k) / B_{nk}(-) - \sin(\theta_n + \epsilon_k) / B_{nk}(+) \} \right] \quad (1)$$

$$\frac{d\theta_n}{dt} = -U \left(1 - \frac{a^2}{r_n^2} \right) \frac{\sin \theta_n}{r_n} - \frac{1}{2\pi r_n} \left[\sum_{k=1}^N \Gamma_k (r_n - r_k) \cos(\epsilon_n - \epsilon_k) / A_{nk}(-) + \sum_{k=1}^N \Gamma_k \{ (r_n - r_k) \cos(\theta_n + \theta_k) / A_{nk}(+) + (r_n r_k^2 - a^2 r_k) \cos(\theta_n - \epsilon_k) \} / B_{nk}(-) - (r_n r_k^2 - a^2 r_k) \cos(\theta_n + \theta_k) / B_{nk}(+) \right] \quad (2)$$

$$A_{nk}(\pm) = r_n^2 + r_k^2 - 2r_n r_k \cos(\epsilon_n \mp \epsilon_k) + a \quad B_{nk}(\pm) = r_n^2 r_k^2 - 2r_n r_k a^2 \cos(\theta_n \mp \theta_k) + a^4$$

ここに、 r_n 、 θ_n は各々 n 番目の渦系の動径方向、角度方向の座標を示し、 r_k 、 θ_k は k 番目のそれらを示す。 U は主流速度を示し、 $\Gamma = U_m \cos(\omega t)$ で与えられる。 $(U_m$:水粒子最大速度)
 Γ : k 番目の渦系の循環を示す。

流況を再現することは、(1)、(2)式の $n=1 \sim N$ について与えられる N 個の連立常微分方程式を解くことによって達成される。しかし、(1)、(2)式中の θ および各渦系の初期位置は未知な量であり、以下の仮定により与えられるものとした。各渦系の循環の発生源は、円柱表面に形成された境界層内にあり、 Γ は各時間ステップ内に境界層のはく離点より主流中に拂き出される循環の量に等しい。そして各時間ステップ内に発生した渦の初期位置は、角度方向については各時間ステップではなく離点の角度方向座標 ϵ により、動径方向の座標は近似的に平板の振動流境界層厚さに半径 a を加えた $(a + \sqrt{2}V_m)$ により与えられるものとする。ここに V_m は、動粘性係数である。この場合、境界層のはく離点を求める必要があるが、振動流中の円柱表面に発達する層流境界層内の流速分布については既に Schlichting¹⁾により理論的に導かれており、この分布式を用いて $y=0$ のはく離条件によりはく離点を決定できる。これを示すのが、(3)式であり、式中の $(K-C)$ は、 $U_m T / a$ で定義される。

$$\cos \theta_s = \pi \cos(\omega t + \pi/4) / [(K-C)((2-\sqrt{2}) \cos(2\omega t - \pi/4) + 1/\sqrt{2})] = F(\omega t) \quad (3)$$

(3)式で与えられる θ_s の時間位相による変化は、岩垣²⁾の波動場中についての結果と定性的に一致していたことを付記しておく。また、後流域に渦が形成されるようになると、はく離点の変化は後流渦による影響を受けるようになる。したがって、本研究では、はく離点の決定に後流渦の影響を考慮した(4)式を導き、最初にはく離がはじま、以後においてはこの(4)式により θ_s を求めていく。

$$\cos \theta_s = \sum_{k=1}^N \Gamma_k [C_k(-) - C_k(+)] / [2\pi U_m \cos(\omega t)] + F(\omega t) \quad (4) \quad C_k(\pm) = (a^2 - r_k^2) r_k \sin(\theta_s \pm \epsilon_k) / [a^2 + r_k^2 - 2a r_k \cos(\theta_s \pm \epsilon_k)]^2$$

また前述した発生渦の循環 Γ は、Sarkaraya³⁾により用いられている渦度流束の表示式(5)式に、(4)式で求めた

$$\partial \Gamma / \partial t = 0.5 [U_B(\theta_s)]^2 \quad (5)$$

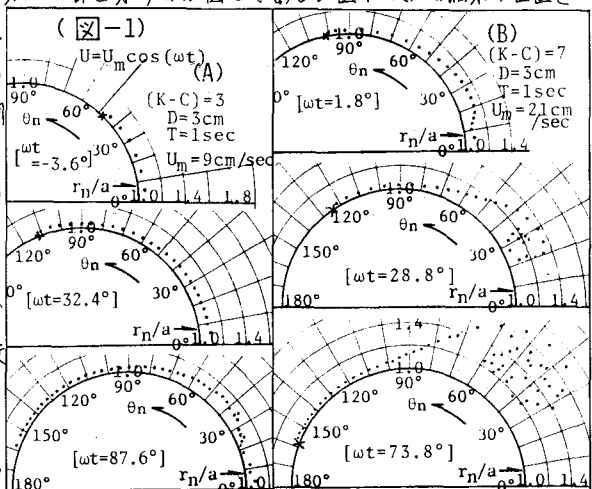
θ_s を代入し、各時間ステップ内で積分することにより与えられる。ここで、 $U_B(\theta_s)$ は、はく離点における境界

層外縁の水粒子速度の角度方向成分を示し、(2)式に $r_m = a$, $\theta_n = \theta_s$ を代入し、さらに α 倍した値である。

本研究では、(4)式を関連させて(1), (2), (5)式を4次のRunge-Kutta法を用いて数値的に解いた。時間ステップ Δt は、0.05 D/a_m 以下とした。なお、前の半周期に発生した渦糸の後の半周期におけるはく離のはじまりに及ぼす影響はないものと仮定してある。これら計算結果の一部を示すのが図-1である。図中の点は渦糸の位置を示し、 \times 印ははく離点の位置を示す。図-1(A)は、K-C数が3の場合で、明確な渦への渦糸の巻き込みは見られない。図-1(B)は、K-C数が7の場合で各渦糸は時間の経過と共に大きさが渦への巻き込みを示し、さらに発達して円柱より分離する状態にまで到る。これらK-C数による流況の相違は、(5), (6)式より推察されるように、K-C数が大きいほどはく離のはじまりが早くなることや発生循環量も大きくなることによるものである。著者ら⁴⁾の渦パターンを分類した実験結果と比較すると、K-C数3以下では顕著な集中渦の発生しない場合で、図-1(A)にほぼ一致している。

なお、実験結果では、K-C数8まで比較的対称な渦パターンが出現しているが、8以上のK-C数では非対称な渦パターンが出現することから、非対称渦モデルによる検討が必要になる。これについては、現在検討中であり、今後の機会に発表したい。

3. 作用流体力について： 2.で述べたような手法により流況が求まると、非定常 Blasius の公式により円柱に作用する流体力の算定が可能になる。流体力の表示式については、既に Sarpkaya³⁾により与えられており、それを参照されたい。図-2は、算定流体力の時間変動曲線を示すもので、算定流体力を $\rho (du/dt)_{max} \pi D^2/4$ で除して無次元化してある。なお、図-2ははく離のはじまる時間位相以後および後の半周期にはく離のはじまる時間位相までについて示した。図-2より、流体力時間曲線は、K-C数の大きくなるほど、Morison 波力式の慣性力が卓越する場合の正弦波形に近い形状よりこれに抗力の成分が加わったような多成分波形へと変化している。また流体力の負の極大値の出現位相に着目すると、K-C数の増大に伴ない水粒子加速度の極大となる位相より水粒子速度の極大となる位相へとその出現位相は変化しており、Morison 波力式より得られる結果と定性的に一致していることがわかる。次に、Morison 波力式に基づく C_D, C_M の算定法により、図-2の算定流体力時間曲線についての C_D, C_M を求めた。図-2の $wt=90^\circ$ における縦軸の値が、この C_M の値を示しており、 C_M の値はK-C数の増大と共に2より減少することがわかる。また C_D の値は、図-2中に示したようにK-C数の増大と共に大きくなっている。K-C数による C_D, C_M の変化の傾向は Keulegan や Sarpkaya の実験結果とK-C数10付近までは、定性的に一致している。この K-C数の増大に伴ない C_M の減少傾向は、図-1に見られるようにK-C数の増大に伴ない $wt=90^\circ$ 附近で後流域にはより大きな渦が発生され、しかもこの渦 $F/[\rho \frac{\pi D^2}{4} (\frac{du}{dt})_{max}]$ によって流体力が慣性力の作用方向とは逆向きになつていることによる。一方 C_D については、K-C数の増大に伴ない $wt=0^\circ$ 附近で抗力の作用方向により多くの渦糸が出現していることによる。今後はさらに非対称渦モデルを考慮して、Morison 波力式の妥当性について



(図-1)

(B) $(K-C)=7$
 $D=3\text{cm}$
 $T=1\text{sec}$
 $U_m=21\text{cm/sec}$

r_n/a

$0^\circ [wt=1.8^\circ]$

30°

60°

90°

120°

150°

180°

$0^\circ [wt=32.4^\circ]$

30°

60°

90°

120°

150°

180°

$0^\circ [wt=73.8^\circ]$

30°

60°

90°

120°

150°

180°

$0^\circ [wt=87.6^\circ]$

30°

60°

90°

120°

150°

180°

$0^\circ [wt=1.8^\circ]$

30°

60°

90°

120°

150°

180°

$0^\circ [wt=32.4^\circ]$

30°

60°

90°

120°

150°

180°

$0^\circ [wt=73.8^\circ]$

30°

60°

90°

120°

150°

180°

$0^\circ [wt=87.6^\circ]$

30°

60°

90°

120°

150°

180°

$0^\circ [wt=1.8^\circ]$

30°

60°

90°

120°

150°

180°

$0^\circ [wt=32.4^\circ]$

30°

60°

90°

120°

150°

180°

$0^\circ [wt=73.8^\circ]$

30°

60°

90°

120°

150°

180°

$0^\circ [wt=87.6^\circ]$

30°

60°

90°

120°

150°

180°

$0^\circ [wt=1.8^\circ]$

30°

60°

90°

120°

150°

180°

$0^\circ [wt=32.4^\circ]$

30°

60°

90°

120°

150°

180°

$0^\circ [wt=73.8^\circ]$

30°

60°

90°

120°

150°

180°

$0^\circ [wt=87.6^\circ]$

30°

60°

90°

120°

150°

180°

$0^\circ [wt=1.8^\circ]$

30°

60°

90°

120°

150°

180°

$0^\circ [wt=32.4^\circ]$

30°

60°

90°

120°

150°

180°

$0^\circ [wt=73.8^\circ]$

30°

60°

90°

120°

150°

180°

$0^\circ [wt=87.6^\circ]$

30°

60°

90°

120°

150°

180°

$0^\circ [wt=1.8^\circ]$

30°

60°

90°

120°

150°

180°

$0^\circ [wt=32.4^\circ]$

30°

60°

90°

120°

150°

180°

$0^\circ [wt=73.8^\circ]$

30°

60°

90°

120°

150°

180°

$0^\circ [wt=87.6^\circ]$

30°

60°

90°

120°

150°

180°

$0^\circ [wt=1.8^\circ]$

30°

60°

90°

120°

150°

180°

$0^\circ [wt=32.4^\circ]$

30°

60°

90°

120°

150°

180°

$0^\circ [wt=73.8^\circ]$

30°

60°

90°

120°

150°

180°

$0^\circ [wt=87.6^\circ]$

30°

60°

90°

120°

150°

180°

$0^\circ [wt=1.8^\circ]$

30°

60°

90°

120°

150°

180°

$0^\circ [wt=32.4^\circ]$

30°

60°

90°

120°

150°

180°

$0^\circ [wt=73.8^\circ]$

30°

60°

90°

120°

150°

180°

$0^\circ [wt=87.6^\circ]$

30°

60°

90°

120°

150°

180°

$0^\circ [wt=1.8^\circ]$

30°

60°

90°

120°

150°

180°

$0^\circ [wt=32.4^\circ]$

30°

60°

90°

120°

150°

180°

$0^\circ [wt=73.8^\circ]$

30°

60°

90°

120°

150°

180°